

УДК 548.736:546.27:539.194

ИССЛЕДОВАНИЕ КРИСТАЛЛИЧЕСКОЙ СТРУКТУРЫ
ДВУХЪЯДЕРНОГО АЦЕТИЛАЦЕТОНАТА ДИФТОРИДА БОРА

Б.В. Буквецкий², И.В. Свистунова¹, Н.А. Гельфанд¹

¹Дальневосточный федеральный университет, Владивосток

E-mail: irasvist@gmail.com

²Институт химии ДВО РАН, Владивосток

Статья поступила 18 февраля 2013 г.

Определена молекулярная и кристаллическая структура двухъядерного ацетилацетоната дифторида бора, в котором два борнохелатных фрагмента соединены дисульфидной группой. Установлено, что в кристаллическом состоянии хелатные фрагменты неравнозначны. Выявленные различия обусловлены тем, что молекулы кристаллизуются попарно: по одному хелатному циклу обеих молекул пары связаны между собой стекинг-взаимодействием. Вторые хелатные циклы пары в межмолекулярных взаимодействиях не участвуют.

Ключевые слова: β -дикетонаты дифторида бора, двухъядерные комплексы, дисульфиды, кристаллическая структура.

Предметом настоящей работы являлось исследование структуры двухъядерного комплекса дифторида бора, в котором два борнохелатных фрагмента соединены дисульфидной группой через центральные (γ) атомы углерода — $(F_2B(acacS))_2$ (**1**). Учитывая, что по электронному строению и химическим свойствам β -дикетонаты бора напоминают ароматические соединения, димер **1** можно рассматривать как аналог ароматических дисульфидов, строение которых хорошо известно. Представляло интерес выяснить к каким изменениям в геометрии дисульфидной группы приведет замена арильных радикалов на борнохелатные. Кроме того, исследование структуры двухъядерного комплекса, в котором хелатные фрагменты соединены коротким мостиком, позволяет судить о существовании или отсутствии взаимодействия между хелатными группировками, находящимися в одной молекуле.

Ранее уже был исследован двухъядерный комплекс дифторида бора, в котором ацетилацетонатные фрагменты соединены цепочкой из четырех атомов углерода — $F_2B(acacC_4H_8acac)BF_2$ (**2**) [1]. Этот комплекс имеет линейное строение — борнохелатные фрагменты располагаются на максимальном удалении друг от друга и никак не взаимодействуют ни друг с другом, ни с хелатными циклами соседних молекул. Оба цикла эквивалентны и совпадают по длинам связей и величинам углов. Подобно незамещенному ацетилацетонату дифторида бора [8], хелатные циклы в комплексе **2** не являются плоскими: атом бора и центральный атом углерода ($C\gamma$) лежат над плоскостью, образуемой остальными атомами цикла (конформация *ванны*). Изломы по линиям $O\cdots O$ и $C_\beta\cdots C_\beta$ для комплекса **2** составляют $5,8$ и $2,3^\circ$, а для незамещенного ацетилацетоната — $8,4$ и $4,1^\circ$.

Кроме того, в литературе имеется описание структуры двух комплексов дифторида бора, в которых с хелатным циклом связаны серосодержащие радикалы: $F_2B(acacSPh)$ (**3**) [2] и $F_2B(acacSC_4H_3S_3)$ (**4**) ($C_4H_3S_3$ — 5-метил-2,4-дитиацикlopент-5-ентион-3) [3].

ЭКСПЕРИМЕНТАЛЬНАЯ ЧАСТЬ

Получение соединения 1 описано в работе [4].

Рентгеновские эксперименты выполнены на дифрактометре BRUKER SMART 1000 CCD (Mo K_{α} -излучение, графитовый монохроматор). Сбор данных проведен в области полусферы по стандартной методике [5] при расстоянии кристалл—детектор 45 мм. Поглощение рентгеновских лучей в образце учтено по эквивалентным отражениям (по индексам граней монокристалла).

Структура определена прямым методом и уточнена методом наименьших квадратов в анизотропном приближении неводородных атомов. Положения атомов водорода рассчитаны геометрически и включены в уточнение в модели "наездника". Кристаллохимическая информация по исследованной структуре депонирована в Кембриджский банк структурных данных под номером CCDC 907575, откуда может быть свободно получена по запросу на интернет-сайте: www.ccdc.cam.ac.uk/products/csd/faqs.

Сбор и редактирование данных, уточнение параметров элементарной ячейки проведено по программам SMART [5] и SAINT [6]. Все расчеты по определению и уточнению структуры выполнены по программам SHELXTL/PC [7]. Основные кристаллографические данные и результаты уточнения структуры приведены в табл. 1; длины связей и углы — в табл. 2. Структура и расположение молекул в элементарной ячейке приведены на рис. 1—3.

Таблица 1

Кристаллографические данные, параметры дифракционного эксперимента и уточнения структуры

Параметр	Значение
Формула	C ₁₀ H ₁₂ B ₂ F ₄ O ₄ S ₂
Температура, К	296(2)
Молекулярная масса	238,6
Длина волны, Å	Mo K_{α} (0,71073)
Пространственная группа	P2(1)/c
<i>a</i> , <i>b</i> , <i>c</i> , Å; β , град.	7,4672(7), 17,440(2), 11,8975(1); 96,844(2)
<i>V</i> , Å ³	1538,4(2)
<i>Z</i>	4
$\rho_{\text{выч}}$, г·см ⁻³	1,545
μ , мм ⁻¹	0,399
<i>F</i> (000)	728
Размер кристалла, мм	0,20×0,26×0,37
Область сбора данных по θ , град.	2,75—28,02
Интервалы индексов отражений	-9 ≤ <i>h</i> ≤ 9, -23 ≤ <i>k</i> ≤ 20, -15 ≤ <i>l</i> ≤ 15
Измер. / независ. отражений	14278 / 3707 ($R_{\text{int}} = 0,0427$)
Комплектность по $\theta = 28,02$, %	99,9
Отражений с <i>I</i> > 2 σ (<i>I</i>)	2619
Переменных уточнения	204
<i>S</i>	1,000
<i>R</i> -факторы по $F^2 > 2\sigma(F^2)$	$R1 = 0,0407$, $wR2 = 0,1148$
<i>R</i> -факторы по всем отражениям	$R1 = 0,0580$, $wR2 = 0,1241$
Коэффициент экстинкции	0,000(2)
Остаточная электронная плотность (min / max), е/Å ³	-0,194 / 0,285

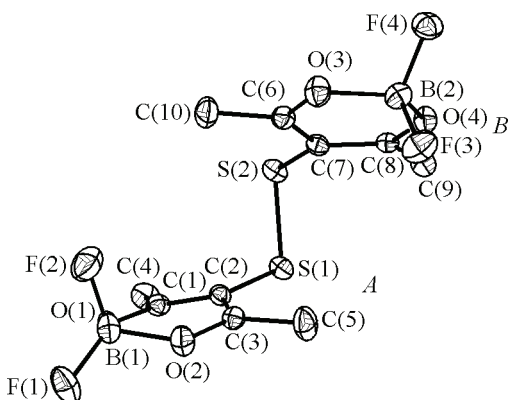


Рис. 1 (слева). Молекулярное строение дисульфида 1

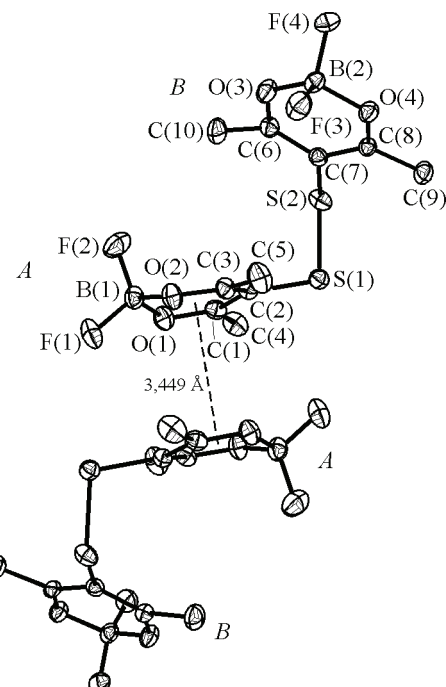


Рис. 2 (справа). Взаимное расположение двух молекул дисульфида 1

Таблица 2

Межатомные расстояния и валентные углы в $(\text{F}_2\text{B}(\text{acacS}))_2$

Связь	$d, \text{\AA}$	Угол	$\omega, \text{град.}$	Угол	$\omega, \text{град.}$
S(2)—C(7)	1,7623(12)	C(7)—S(2)—S(1)	104,07(4)	F(4)—B(2)—O(3)	109,00(12)
S(2)—S(1)	2,0631(5)	C(2)—S(1)—S(2)	103,16(4)	F(3)—B(2)—O(4)	108,88(12)
S(1)—C(2)	1,7647(13)	C(8)—O(4)—B(2)	123,86(10)	F(4)—B(2)—O(4)	107,63(12)
O(4)—C(8)	1,2819(14)	C(6)—O(3)—B(2)	123,35(11)	O(3)—B(2)—O(4)	110,32(10)
O(4)—B(2)	1,4857(17)	C(3)—O(2)—B(1)	121,10(11)	O(1)—C(1)—C(2)	120,85(12)
F(4)—B(2)	1,3572(17)	C(1)—O(1)—B(1)	121,10(11)	O(1)—C(1)—C(4)	115,21(12)
F(3)—B(2)	1,3570(18)	O(4)—C(8)—C(7)	121,04(11)	C(2)—C(1)—C(4)	123,91(13)
O(3)—C(6)	1,2916(16)	O(4)—C(8)—C(9)	114,56(11)	F(1)—B(1)—F(2)	113,33(14)
O(3)—B(2)	1,4827(18)	C(7)—C(8)—C(9)	124,40(11)	F(1)—B(1)—O(2)	108,84(14)
O(2)—C(3)	1,2948(16)	O(3)—C(6)—C(7)	121,38(11)	F(2)—B(1)—O(2)	108,50(13)
O(2)—B(1)	1,4710(19)	O(3)—C(6)—C(10)	113,74(12)	F(1)—B(1)—O(1)	108,28(13)
O(1)—C(1)	1,2906(16)	C(7)—C(6)—C(10)	124,87(12)	F(2)—B(1)—O(1)	108,25(14)
O(1)—B(1)	1,475(2)	C(6)—C(7)—C(8)	118,90(11)	O(2)—B(1)—O(1)	109,59(13)
C(8)—C(7)	1,4019(17)	C(6)—C(7)—S(2)	120,49(9)		
C(8)—C(9)	1,4830(18)	C(8)—C(7)—S(2)	120,33(9)		
C(6)—C(7)	1,3903(18)	C(3)—C(2)—C(1)	118,17(12)		
C(6)—C(10)	1,4879(19)	C(3)—C(2)—S(1)	121,02(9)		
C(2)—C(3)	1,3868(18)	C(1)—C(2)—S(1)	120,25(10)		
C(2)—C(1)	1,4014(17)	O(2)—C(3)—C(2)	120,98(11)		
C(3)—C(5)	1,4795(19)	O(2)—C(3)—C(5)	114,32(12)		
F(1)—B(1)	1,3587(19)	C(2)—C(3)—C(5)	124,63(13)		
F(2)—B(1)	1,360(2)	F(3)—B(2)—F(4)	111,91(11)		
C(1)—C(4)	1,474(2)	F(3)—B(2)—O(3)	109,10(12)		

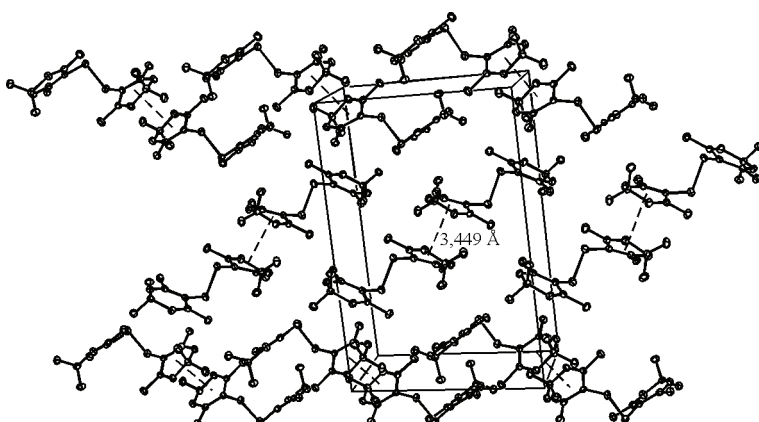


Рис. 3. Кристаллическая структура комплекса 1

ОБСУЖДЕНИЕ РЕЗУЛЬТАТОВ

Строение молекулы двухъядерного комплекса **1** определяется геометрией дисульфидной связи: фрагмент $C\gamma-S-S-C\gamma$ имеет форму ломаной линии с величиной торсионного угла $80,1^\circ$. В димезителендисульфида, который можно рассматривать как ароматический аналог соединения **1**, величина торсионного угла составляет $82,7^\circ$ (CCDC 859846). Длина связи $S-S$ в комплексе **1** и в димезителендисульфида одинакова: $2,063$ и $2,067 \text{ \AA}$ соответственно. Незначительное изменение геометрии дисульфидной группы при переходе от ароматических радикалов к борнохелатным свидетельствует об отсутствии существенного взаимодействия между хелатными циклами в комплексе **1**.

Как и в незамещенном комплексе, оба хелатных цикла не являются плоскими и имеют форму *ванн* с изгибами по линиям $O\cdots O$ и $C_\beta\cdots C_\beta$. При этом внутри молекулы оба цикла вогнутой стороной обращены навстречу друг другу.

Борнохелатные фрагменты в молекуле не эквивалентны. Для удобства описания циклы были обозначены как *A* и *B* (см. рис. 1). Причем для цикла *A* величина изгиба примерно в 2,5 раза больше, чем для цикла *B*, и составляет 25 и 8° (отклонение плоскости $O-B-O$ и плоскости $C_\beta-C_\gamma-C_\beta$ от плоскости $O_1-C_\beta-C_\beta-O_2$ соответственно). Внутри каждого цикла длины парных связей различаются немного сильнее, чем в незамещенном комплексе. Аналогичное отклонение от симметричности наблюдается и для тиозамещенных комплексов **3** и **4** и, вероятно, является следствием появления заместителя у γ -глеродного атома. В циклах *A* и *B* однотипные связи имеют близкую длину. Исключение составляют связи $B-O$: в цикле *B* они примерно на $0,01 \text{ \AA}$ длиннее, чем в цикле *A*. Угол $S-S-C\gamma$ (*A*) и $S-S-C\gamma$ (*B*) для обоих хелатных фрагментов также немного различается и составляет 103 и 104° . Длина связи $S-C\gamma$ для циклов *A* и *B* практически одинакова и совпадает с длиной этой связи в комплексах **3** и **4** ($1,759$ и $1,766 \text{ \AA}$). Сравнение геометрических параметров комплекса **1** и незамещенного ацетилацетоната $F_2B(\text{acacH})$ [8] показывает, что присоединение к $C\gamma$ атома серы главным образом вызывает увеличение излома хелатного цикла *A* по линии $O\cdots O$ и $C_\beta\cdots C_\beta$. Длины связей и углы в циклах меняются мало, наиболее существенным изменением является увеличение длины связей $C_\beta\cdots C\gamma\cdots C_\beta$, что, вероятно, является проявлением отталкивания между атомом серы и β -метильными группами.

Молекулы димера **1** кристаллизуются попарно: одна над другой. При этом циклы *A* в паре компланарны, располагаются строго друг над другом и направлены в противоположные стороны (см. рис. 2). Расстояние между циклами составляет $3,449 \text{ \AA}$. Циклы *B* с соседними молекулами не взаимодействуют. Таким образом, отмеченные выше различия в строении циклов: больший излом цикла *A* (по линиям $O\cdots O$ и $C_\beta\cdots C_\beta$) и меньший угол $S-S-C\gamma$ (*A*) являются следствием межмолекулярного взаимодействия. Отмеченные особенности позволяют говорить о π -стекинг-взаимодействии между хелатными циклами соседних молекул. Существование по-

Таблица 3

Изгиб хелатных циклов в ацетилацетонатах дифторида бора по линиям O₁···O₂ и C_β···C_β, а также расстояние между циклами, участвующими в π-стекинг-взаимодействии

Соединение	(O(1)—B(1)—O(2)) — (O(1)—C(3)—C(1)—O(2)), град.	(C(2)—C(3)—C(4)) — (O(1)—C(3)—C(1)—O(2)), град.	Расстояние между циклами, Å
F ₂ B(acacSSacac)BF ₂			
цикл A	154,75	171,97	3,449
цикл B	170,64	177,02	—
F ₂ B(acacC ₄ H ₈ acac)BF ₂ [1]			
цикл A	174,16	178,65	—
цикл B	174,16	178,65	—
F ₂ B(acacSPh) [2]	163,54	175,39	3,646
F ₂ B(acacSC ₄ H ₃ S ₃) [3]	151,31	171,06	3,175

доброго взаимодействия между борнохелатным циклом и фенильной группой отмечалось ранее на примере комплекса **3** [2]. Кроме того, анализ упаковки комплекса **4** [3], показывает, что в этом соединении также существует взаимодействие между хелатными циклами и между заместителями, связанными с атомами серы (расстояние между компланарно расположенным 2,4-дитиациклогепт-5-ентион-3 группами составляет 3,463 Å).

В табл. 3 приведены расстояния между фрагментами, участвующими в π-стекинг-взаимодействии для комплексов **1**, **3**, **4**. Сравнение этих расстояний с отклонением фрагментов O—B—O и C_β—C_γ—C_β от плоскости хелатного цикла показывает, что с уменьшением расстояния между взаимодействующими фрагментами (с усилением π-взаимодействия) увеличивается излом хелатного цикла.

Разумеется, указанное взаимодействие реализуется только в кристаллическом состоянии, делая циклы в двухъядерном комплексе **1** неравноценными. В растворе оба цикла равнозначны, что доказывает присутствие в ПМР спектре димера **1** только одного сигнала от всех четырех метильных групп [4].

Пары димеров располагаются под наклоном рядом друг с другом, образуя сплошную плоскость, как показано на рис. 3. В соседних слоях (выше и ниже) пары наклонены в противоположные стороны.

Таким образом, замена в диарилдисульфиде ароматических радикалов на борнохелатные не оказывается на геометрии дисульфидной группы и не приводит к существенному изменению геометрических параметров хелатных циклов. Переход от незамещенного комплекса к замещенному сопровождается появлением межмолекулярного взаимодействия между π-электронными системами хелатных циклов соседних молекул.

Работа выполнена при поддержке гранта ФЦП "Научные и научно-педагогические кадры инновационной России" (2012-1.2.2-12-000-1004-016).

СПИСОК ЛИТЕРАТУРЫ

- Peters K., Peters E.-M., Seefelder M., Quast H. // Z. Kristallogr. – New Cryst. Struct. – 1999. – **214**. – P. 537 – 538.
- Буквецкий Б.В., Федоренко Е.В., Мирочник А.Г., Карапев В.Е. // Журн. структур. химии. – 2007. – **48**, № 6. – С. 1214 – 1217.
- Guerro M., Roisnel T., Lorcy D. // Tetrahedron. – 2009. – **65**. – P. 6123 – 6127.
- Свистунова И.В., Федоренко Е.В. // Журн. общ. химии. – 2008. – **78**, № 8. – С. 1281 – 1288.
- Bruker (1998). SMART. Bruker AXS Inc., Madison, Wisconsin, USA.
- Bruker (2003). SAINT. Bruker AXS Inc., Madison, Wisconsin, USA.
- Sheldrick G.M. // Acta Crystallogr. – 2008. – **A64**. – P. 112 – 122.
- Мирочник А.Г., Буквецкий Б.В., Гухман Е.В. и др. // Журн. общ. химии. – 2002. – **72**, № 5. – С. 790 – 793.